

# Introdução à Física das Partículas Elementares

4300422

[edisciplinas.if.usp.br](http://edisciplinas.if.usp.br)

(buscar: física das partículas elementares)

Fernando S Navarra

[navarra@if.usp.br](mailto:navarra@if.usp.br)

Guilherme Germano

[guilherme.germano@usp.br](mailto:guilherme.germano@usp.br)

# Plano do Curso

14/03	Cap. 1	25/04	Cap. 4	25/05	Cap. 9
16/03	Cap. 1	27/04	Cap. 5	30/05	Cap. 9
21/03	Cap. 2	02/05	Cap. 6	01/06	Cap. 9
23/03	Cap. 2	04/05	Cap. 6	06/06	
28/03	Cap. 3	09/05	Cap. 7	08/06	
30/03	Cap. 3	11/05	Cap. 7	13/06	Cap. 10
04/04		16/05	Cap. 8	15/06	Cap. 10
06/04		18/05	Cap. 8	20/06	Cap. 10
11/04	Cap. 4	23/05	P2	22/06	Cap. 11
13/04	Cap. 4			27/06	Cap. 11
18/04	Cap. 4			29/06	P3
20/04	P1			04/07	Sub



# Aula 20

## Capítulo 9

Simetrias e o Modelo de Quarks



SU(3)

Murray Gell-Mann

## SU(3) de sabor

Vamos estender SU(2) para incluir o quark estranho  $s$

$$q = \begin{pmatrix} u \\ d \\ s \end{pmatrix} \quad u = \begin{pmatrix} 1 \\ 0 \\ 0 \end{pmatrix} \quad d = \begin{pmatrix} 0 \\ 1 \\ 0 \end{pmatrix} \quad s = \begin{pmatrix} 0 \\ 0 \\ 1 \end{pmatrix}.$$

Para transformar o quark  $q$  precisamos de matrizes unitárias  $3 \times 3$ :

$$q' = U q \quad \begin{pmatrix} u' \\ d' \\ s' \end{pmatrix} = \hat{U} \begin{pmatrix} u \\ d \\ s \end{pmatrix} = \begin{pmatrix} U_{11} & U_{12} & U_{13} \\ U_{21} & U_{22} & U_{23} \\ U_{31} & U_{32} & U_{33} \end{pmatrix} \begin{pmatrix} u \\ d \\ s \end{pmatrix}$$

Elas formam o grupo SU(3) com elementos:

$$\hat{U} = e^{i\alpha \cdot \hat{\mathbf{T}}}$$

Geradores :

$$\hat{\mathbf{T}} = \frac{1}{2} \lambda$$

# Matrizes de Gell-Mann

$SU(2)$

$$\lambda_1 = \begin{pmatrix} 0 & 1 & 0 \\ 1 & 0 & 0 \\ 0 & 0 & 0 \end{pmatrix}, \quad \lambda_4 = \begin{pmatrix} 0 & 0 & 1 \\ 0 & 0 & 0 \\ 1 & 0 & 0 \end{pmatrix}, \quad \lambda_6 = \begin{pmatrix} 0 & 0 & 0 \\ 0 & 0 & 1 \\ 0 & 1 & 0 \end{pmatrix}$$

$$\lambda_2 = \begin{pmatrix} 0 & -i & 0 \\ i & 0 & 0 \\ 0 & 0 & 0 \end{pmatrix}, \quad \lambda_5 = \begin{pmatrix} 0 & 0 & -i \\ 0 & 0 & 0 \\ i & 0 & 0 \end{pmatrix}, \quad \lambda_7 = \begin{pmatrix} 0 & 0 & 0 \\ 0 & 0 & -i \\ 0 & i & 0 \end{pmatrix}$$

$$\lambda_3 = \begin{pmatrix} 1 & 0 & 0 \\ 0 & -1 & 0 \\ 0 & 0 & 0 \end{pmatrix}, \quad \lambda_8 = \frac{1}{\sqrt{3}} \begin{pmatrix} 1 & 0 & 0 \\ 0 & 1 & 0 \\ 0 & 0 & -2 \end{pmatrix}. \quad \longrightarrow$$

Diagonais  
e comutam

Hermitianas com traço nulo

Componente  $I_3$  do Isospin :

$$\hat{T}_3 = \frac{1}{2}\lambda_3$$

$$\left\{ \begin{array}{l} \hat{T}_3 u = +\frac{1}{2}u \\ \hat{T}_3 d = -\frac{1}{2}d \\ \hat{T}_3 s = 0 \end{array} \right.$$

Isospin total :

$$\hat{T}^2 = \sum_{i=1}^8 \hat{T}_i^2 = \frac{1}{4} \sum_{i=1}^8 \lambda_i^2 = \frac{4}{3} \begin{pmatrix} 1 & 0 & 0 \\ 0 & 1 & 0 \\ 0 & 0 & 1 \end{pmatrix}$$

$$\left. \begin{array}{l} T_3 = \frac{1}{2}\lambda_3 \\ T_8 = \frac{1}{2}\lambda_8 \end{array} \right\}$$

Comutam e descrevem duas grandezas compatíveis

$$\hat{T}_3 = \frac{1}{2}\lambda_3$$

3<sup>a</sup> componente  
do isospin

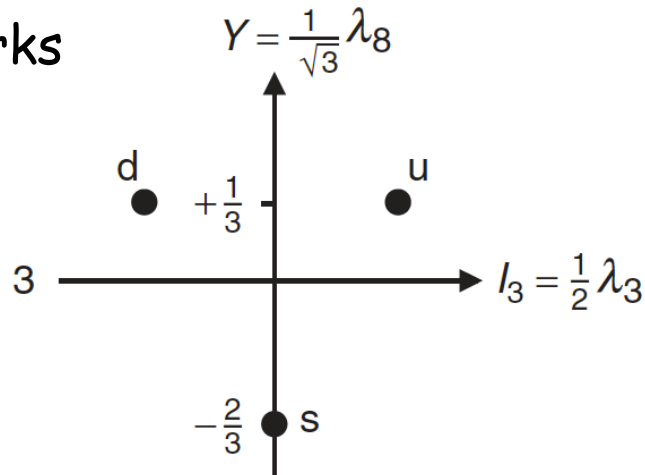
$$\hat{Y} = \frac{1}{\sqrt{3}}\lambda_8$$

hipercarga

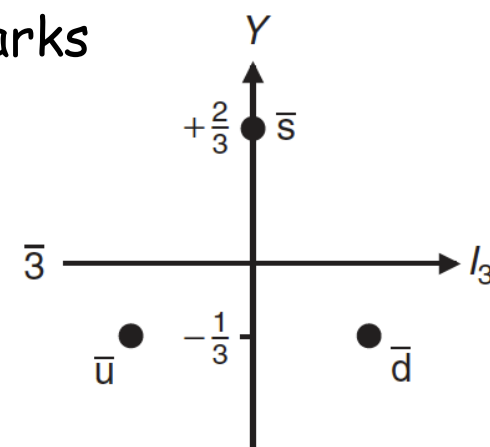
$$\left\{ \begin{array}{l} \hat{Y} u = +\frac{1}{3}u \\ \hat{Y} d = +\frac{1}{3}d \\ \hat{Y} s = -\frac{2}{3}s \end{array} \right.$$

$I_3$  e  $Y$  são colocados em dois eixos perpendiculares e definem um plano

Quarks



Antiquarks



Neste plano andamos com três operadores "escada":

$$\hat{T}_\pm = \frac{1}{2}(\lambda_1 \pm i\lambda_2),$$

$$\hat{V}_\pm = \frac{1}{2}(\lambda_4 \pm i\lambda_5),$$

$$\hat{U}_\pm = \frac{1}{2}(\lambda_6 \pm i\lambda_7),$$

$$d \leftrightarrow u$$

$$s \leftrightarrow u$$

$$d \leftrightarrow s$$

$$\hat{T}_+ d = +u$$

$$\hat{T}_- u = +d,$$

$$\hat{V}_+ s = +u,$$

$$\hat{V}_- u = +s,$$

$$\hat{U}_+ s = +d,$$

$$\hat{U}_- d = +s,$$

$$\hat{T}_+ \bar{u} = -\bar{d}$$

$$\hat{T}_- \bar{d} = -\bar{u}.$$

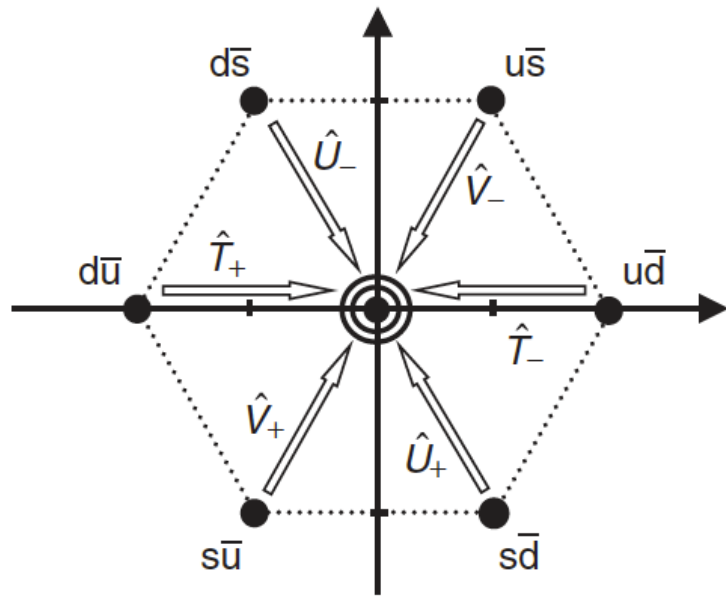
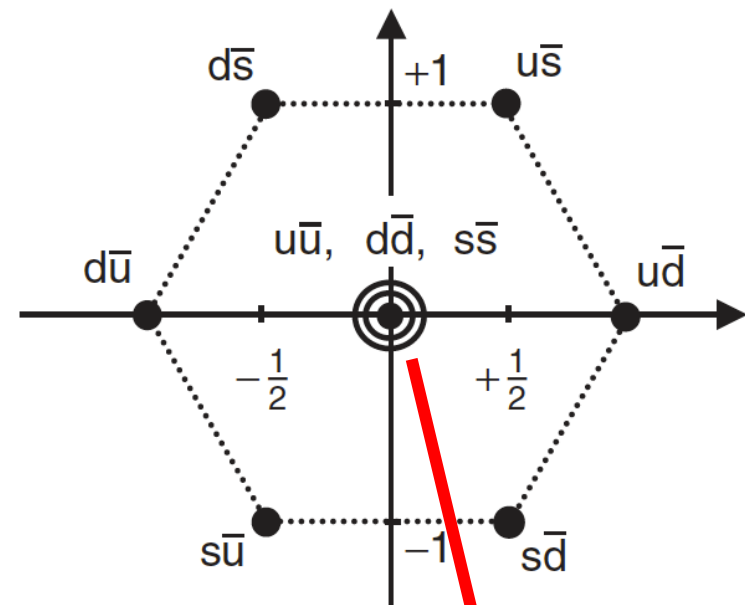
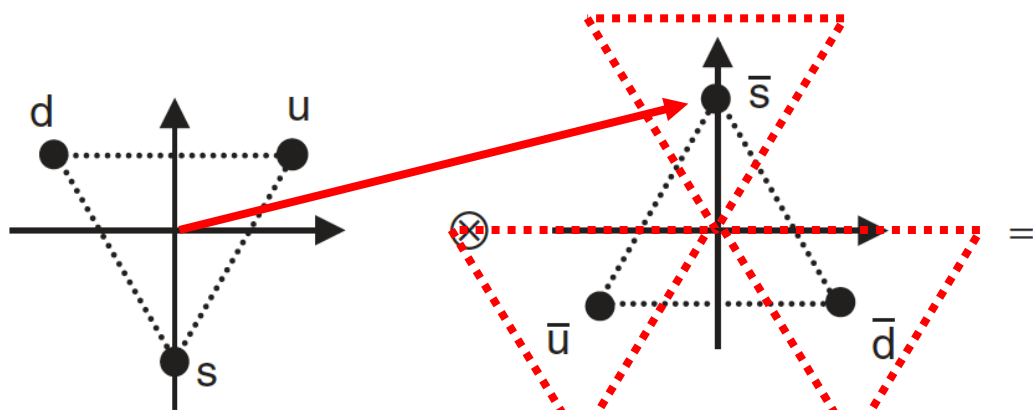
$$\hat{V}_+ \bar{u} = -\bar{s},$$

$$\hat{V}_- \bar{s} = -\bar{u},$$

$$\hat{U}_+ \bar{d} = -\bar{s},$$

$$\hat{U}_- \bar{s} = -\bar{d},$$

# Mesons



Usamos os  
operadores escada

Os três estados  
no centro são  
agrupados

$$\left\{ \begin{array}{ll} T_+ |d\bar{u}\rangle = |u\bar{u}\rangle - |d\bar{d}\rangle & T_- |\bar{u}d\rangle = |d\bar{d}\rangle - |u\bar{u}\rangle, \\ V_+ |s\bar{u}\rangle = |u\bar{u}\rangle - |s\bar{s}\rangle & V_- |\bar{u}s\rangle = |s\bar{s}\rangle - |u\bar{u}\rangle, \\ U_+ |s\bar{d}\rangle = |d\bar{d}\rangle - |s\bar{s}\rangle & U_- |\bar{d}s\rangle = |s\bar{s}\rangle - |d\bar{d}\rangle. \end{array} \right.$$

Só dois estados são linearmente independentes

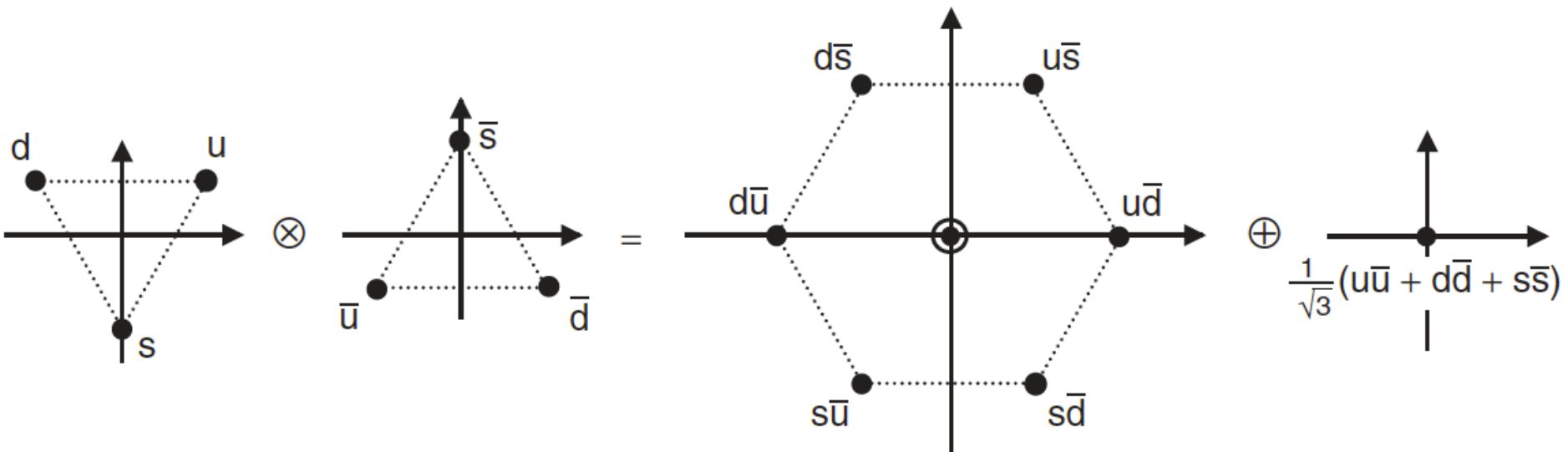
Estes dois e mais os seis do contorno hexagonal formam um octeto

O estado que sobra forma um singlet

$$|\psi_S\rangle = \frac{1}{\sqrt{3}}(u\bar{u} + d\bar{d} + s\bar{s}).$$

Quando aplicamos algum operador escada dá zero !

$$\begin{aligned} T_+ \psi_S &= \frac{1}{\sqrt{3}}([T_+ u]\bar{u} + u[T_+ \bar{u}] + [T_+ d]\bar{d} + d[T_+ \bar{d}] + [T_+ s]\bar{s} + s[T_+ \bar{s}]) \\ &= \frac{1}{\sqrt{3}}(0 - u\bar{d} + u\bar{d} + 0 + 0 + 0) = 0, \end{aligned}$$



Em grupês:  $3 \otimes \bar{3} = 8 \oplus 1$

Função de onda:  $\psi(\text{meson}) = \phi_{\text{flavour}} \chi_{\text{spin}} \xi_{\text{colour}} \eta_{\text{space}}$

Paridade do sistema quark-antiquark :

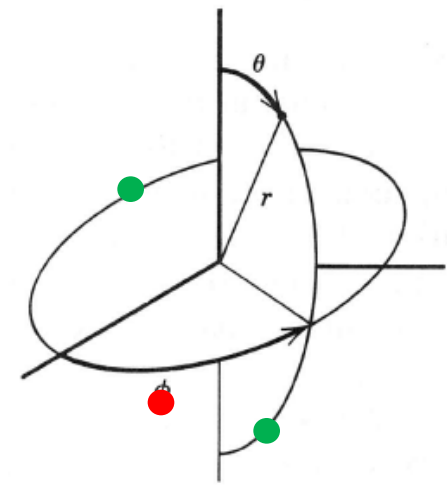
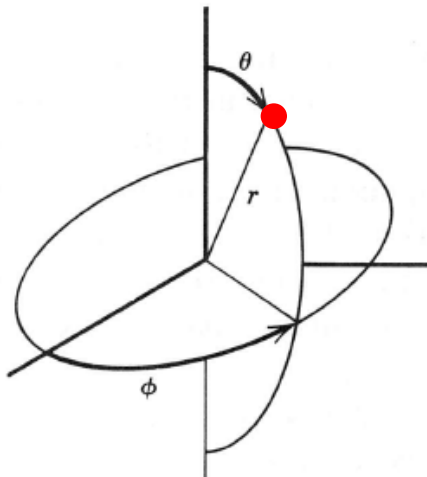
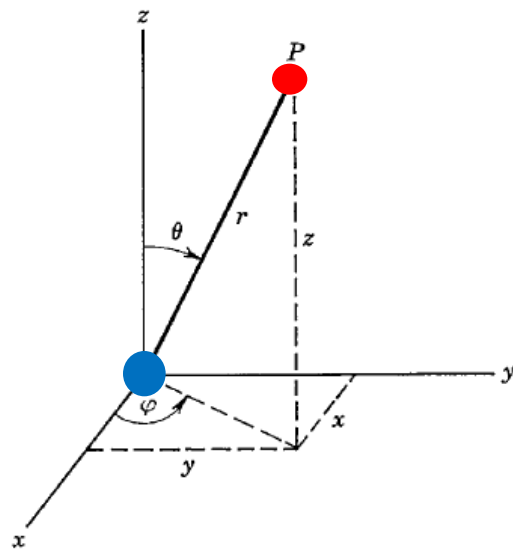
$$P(q\bar{q}) = P(q)P(\bar{q}) \times (-1)^\ell = (+1)(-1)(-1)^\ell$$

$\ell$  é o momento angular orbital

Coords. Esféricas: Solução da Eq. Schrödinger: Transformação de paridade:

$$\psi(r, \theta, \phi) = R(r)Y(\theta, \phi)$$

$$r \rightarrow r; \theta \rightarrow \pi - \theta; \text{ e } \phi \rightarrow \pi + \phi.$$



$$Y_{\ell m}(\pi - \theta, \pi + \phi) = (-1)^\ell Y_{\ell m}(\theta, \phi)$$

**Table 7-2** Some Eigenfunctions for the One-Electron Atom

Quantum Numbers.

$n$	$l$	$m_l$	Eigenfunctions
1	0	0	$\psi_{100} = \frac{1}{\sqrt{\pi}} \left(\frac{Z}{a_0}\right)^{3/2} e^{-Zr/a_0}$
2	0	0	$\psi_{200} = \frac{1}{4\sqrt{2\pi}} \left(\frac{Z}{a_0}\right)^{3/2} \left(2 - \frac{Zr}{a_0}\right) e^{-Zr/2a_0}$
2	1	0	$\psi_{210} = \frac{1}{4\sqrt{2\pi}} \left(\frac{Z}{a_0}\right)^{3/2} \frac{Zr}{a_0} e^{-Zr/2a_0} \cos \theta$

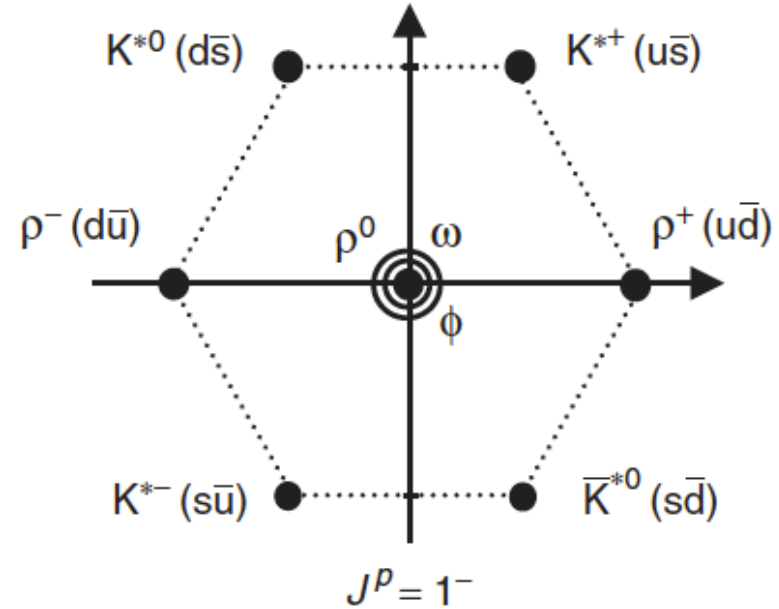
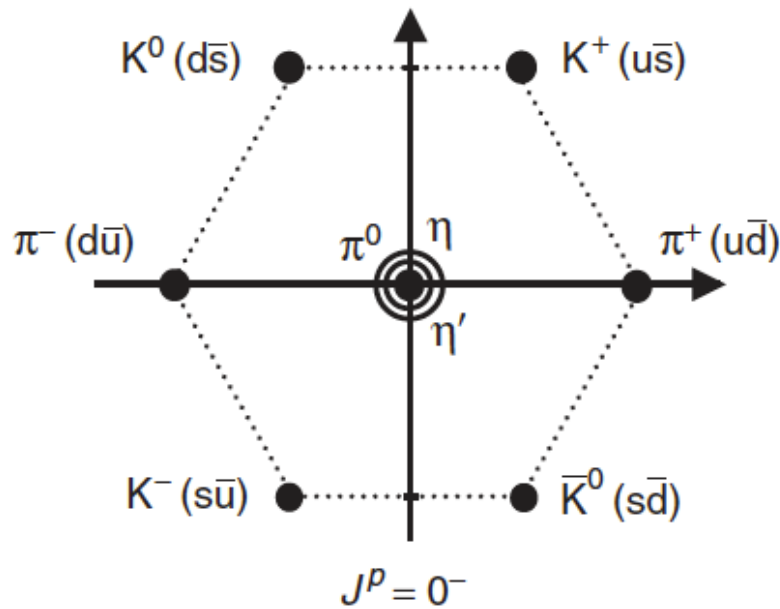
Paridade = P = -1



$$\cos(\pi - \theta) = -\cos \theta$$

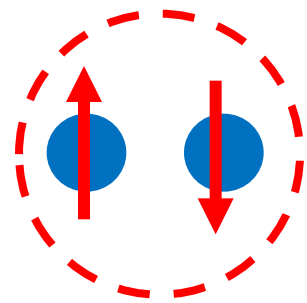
# Mesons com momento angular $L = 0$

$$P = -(-1)^l = -1$$



$$\begin{aligned} S &= 0 \\ L &= 0 \end{aligned}$$

$$J = L + S = 0$$

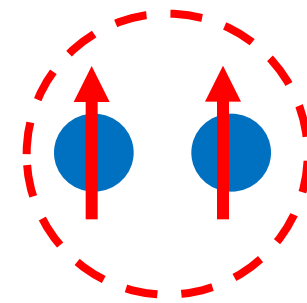


$$J^P = 0^-$$

mesons  
pseudoscalares

$$\begin{aligned} S &= 1 \\ L &= 0 \end{aligned}$$

$$J = L + S = 1$$



$$J^P = 1^-$$

mesons  
vetoriais

## Pseudeescalar singlet

$$|\eta'\rangle \approx \frac{1}{\sqrt{3}}(u\bar{u} + d\bar{d} + s\bar{s}).$$

Os dois membros do octeto  
com  $I_3 = 0$  e  $\gamma = 0$

$$|\pi^0\rangle = \frac{1}{\sqrt{2}}(u\bar{u} - d\bar{d})$$

$$|\eta\rangle = \frac{1}{\sqrt{6}}(u\bar{u} + d\bar{d} - 2s\bar{s})$$

## Os mesons vetoriais com $I_3 = 0$ e $\gamma = 0$

$$|\rho^0\rangle = \frac{1}{\sqrt{2}}(u\bar{u} - d\bar{d}),$$

$$|\omega\rangle \approx \frac{1}{\sqrt{2}}(u\bar{u} + d\bar{d}),$$

$$|\phi\rangle \approx s\bar{s}.$$

Aqui há mistura entre  
octeto e singlet !

# As massas dos mesons

**Table 9.1** The  $L = 0$  pseudoscalar and vector meson masses.

Pseudoscalar mesons	Vector mesons
$\pi^0$	135 MeV
$\pi^\pm$	140 MeV
$K^\pm$	494 MeV
$K^0, \bar{K}^0$	498 MeV
$\eta$	548 MeV
$\eta'$	958 MeV
	$\rho^0$
	$\rho^\pm$
	$K^{*\pm}$
	$K^{*0}/\bar{K}^{*0}$
	$\omega$
	$\phi$
	775 MeV
	775 MeV
	892 MeV
	896 MeV
	783 MeV
	1020 MeV

As massas deveriam ser iguais mas não são !

O quark estranho tem massa bem maior.

SU(3) é apenas aproximada !

A diferença de massa entre pseudoescalares e vetores **vem do spin !**

# Barions

Primeiro combinamos dois quarks :

$$d \quad u$$

$$3 \quad 3$$

$$\otimes$$

$$=$$

$$\frac{1}{\sqrt{2}}(ud + du)$$

$$\frac{1}{\sqrt{2}}(ud - du)$$

$$dd \quad uu$$

$$6 \quad ss$$

$$\oplus$$

$$\bar{3}$$

$$3 \otimes 3 = 6 \oplus \bar{3}$$

Depois multiplicamos pelo terceiro quark :

$$3$$

$$3$$

$$\otimes$$

$$3$$

$$\otimes$$

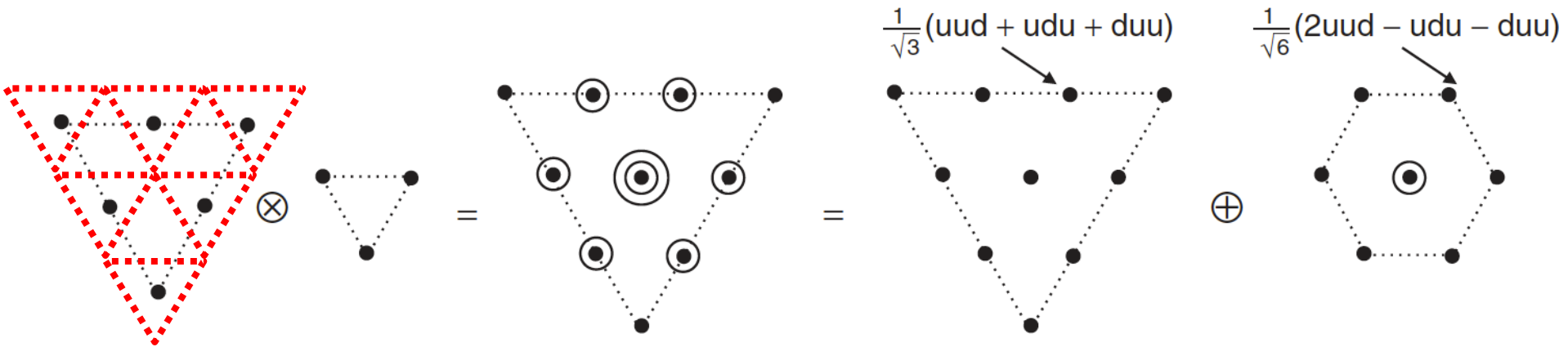
$$3$$

$$\otimes$$

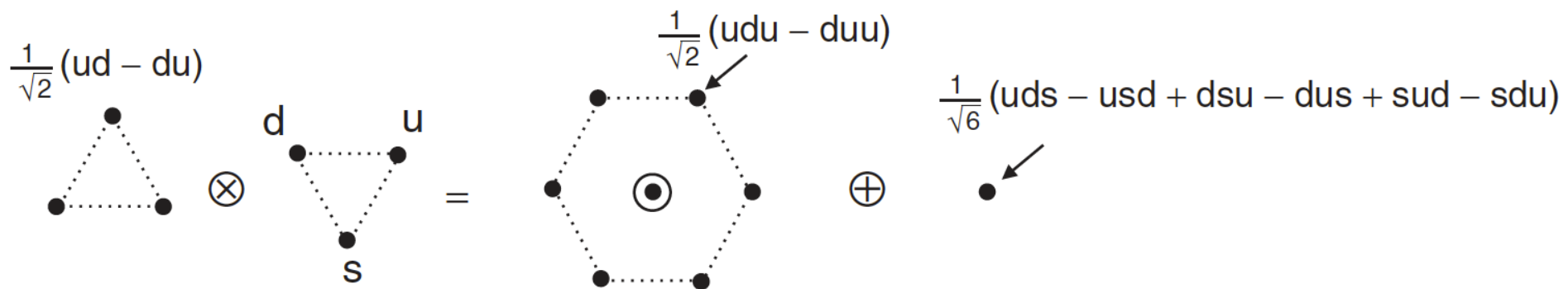
$$=$$

$$\left[ \begin{array}{c} d \\ u \end{array} \right]$$

$$\otimes$$



$$6 \otimes 3 = 10 \oplus 8$$



$$3 \otimes \bar{3} = 8 \oplus 1$$

$$3 \otimes 3 \otimes 3 = 3 \otimes (6 \oplus \bar{3}) = 10 \oplus 8 \oplus 8 \oplus 1$$

O singlet é dado pela combinação :

$$|\psi_S\rangle = \frac{1}{\sqrt{6}}(uds - usd + dsu - dus + sud - sdu)$$

Verificação: usamos algum operador escada. Deve dar zero !

$$\left\{ \begin{array}{l} \hat{T}_+ d = +u \\ \hat{T}_+ u = 0 \\ \hat{T}_+ s = 0 \end{array} \right.$$

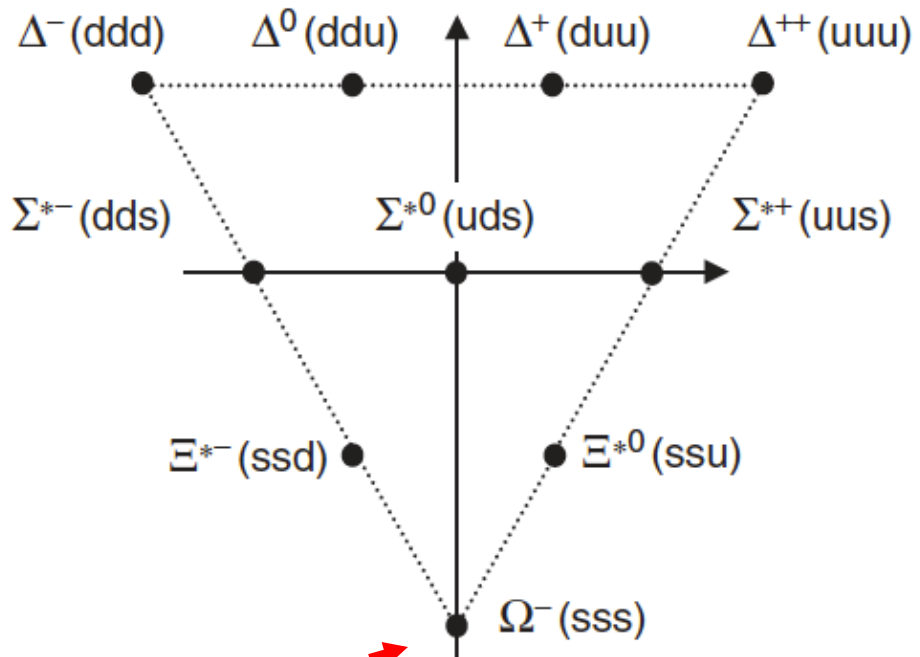
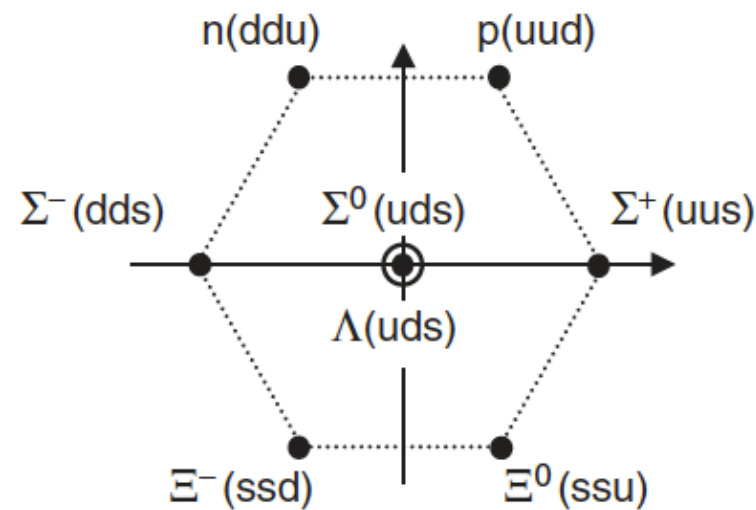
$$\hat{T}_+ |\psi_S\rangle = \frac{1}{\sqrt{6}}(uus - usu + usu - uus + suu - suu) = 0$$

# Octeto

# Decuplo

$$J^P = \frac{1}{2}^+$$

$$J^P = \frac{3}{2}^+$$



Eu que previ !!!

Murray Gell-Mann

## As massas dos barions

**Table 9.2** Measured masses and number of strange quarks for the  $L = 0$  light baryons.

s quarks		Octet		Decuplet
0	p, n	940 MeV	$\Delta$	1230 MeV
1	$\Sigma$	1190 MeV	$\Sigma^*$	1385 MeV
1	$\Lambda$	1120 MeV		
2	$\Xi$	1320 MeV	$\Xi^*$	1533 MeV
3			$\Omega$	1670 MeV









No caso dos harmônicos esféricos, ficamos com:

$$Y_{\ell m}(\theta, \phi) \rightarrow Y_{\ell m}(\pi - \theta, \pi + \phi)$$

Que mantém seu módulo, mas pode mudar o sinal.

$$Y_{\ell m}(\pi - \theta, \pi + \phi) = \Theta_{\ell m}(\pi - \theta) e^{im(\pi + \phi)} = (-1)^m \Theta_{\ell m}(\pi - \theta) e^{im\phi}$$

As autofunções de  $\theta$  são dadas pelos polinômios:

$$P_{\ell m}(\xi) = (1 - \xi^2)^{m/2} \frac{d^m}{d\xi^m} P_\ell(\xi), \quad \xi = \cos \theta.$$

sendo os  $P_\ell$  conhecidos como polinômios de Legendre. Nesse caso, a operação de paridade produz uma mudança de sinal, uma vez que:  $\cos(\pi - \theta) = -\cos \theta$

$$\xi \rightarrow -\xi \quad \text{pois} \quad \cos(\pi - \theta) = -\cos \theta.$$

Os polinômios de Legendre têm a propriedade de serem compostos de potências pares de  $\zeta$  para  $\ell$  par e potências ímpares para  $\ell$  ímpar. Portanto:  $P_\ell(-\xi) = (-1)^\ell P_\ell(\xi)$